

## บทที่ 4

### การจำลองความผิดพร่องเนื่องจากสายชำหน่ายไฟฟ้าขาดและวิเคราะห์ผลการจำลอง

จากบทที่ผ่านมาได้กล่าวถึงการออกแบบการจำลองความผิดพร่องของเหตุการณ์สายชำหน่ายไฟฟ้าขาดแล้วสัมผัสพื้นด้านกระแสไฟฟ้า ทั้งออกแบบโดยโปรแกรม ATP หรือออกแบบโดยอุปกรณ์ไฟฟ้าเพื่อจำลองในห้องปฏิบัติการ

ต่อไปจะเป็นการแสดงผลการจำลองความผิดพร่องแบบสายชำหน่ายไฟฟ้าขาดแล้วสัมผัสพื้นด้านกระแสไฟฟ้าตามแบบการจำลองค่างๆ พร้อมทั้งวิเคราะห์ผลของสัญญาณกระแสที่ได้จากการจำลองความผิดพร่อง

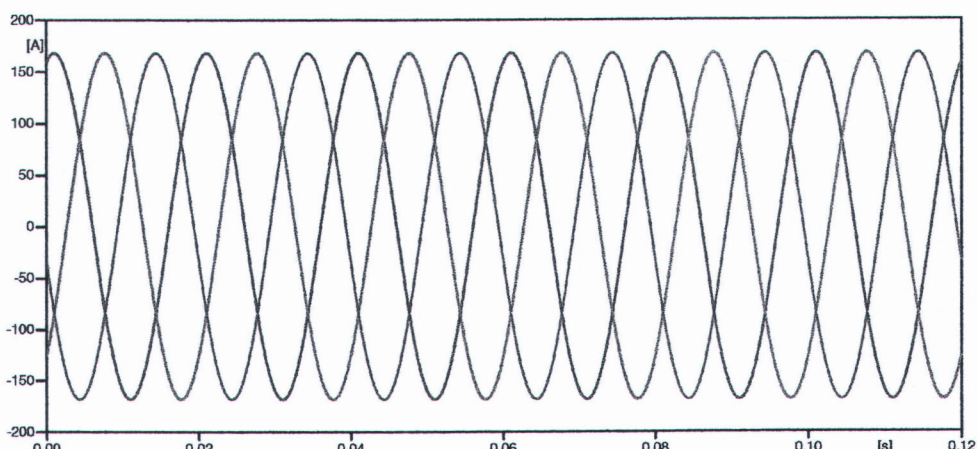
#### 4.1 การจำลองความผิดพร่องด้วยโปรแกรม (ATP – Alternative Transients Program) และวิเคราะห์ผลการจำลอง

##### 4.1.1 การจำลองระบบไฟฟ้าแบบรัศมี (radial circuit) เมื่อภาระเป็นแบบเดลต้า (Delta load)

ระบบชำหน่ายไฟฟ้าด้านแรงดันสูงปานกลาง (Medium voltage) นั้น ภาระโดยส่วนใหญ่เป็นการต่อแบบเดลต้า (Delta connection) เพราะฉะนั้นจึงทำการจำลองระบบชำหน่ายไฟฟ้าให้ภาระเป็นแบบเดลต้า เพื่อให้ได้ลักษณะที่ใกล้เคียงกับระบบชำหน่ายไฟฟ้าจริง

###### 4.1.1.1 ผลการจำลองระบบชำหน่ายไฟฟ้า เมื่อสภาวะปกติ

ได้รูปคลื่นกระแสไฟฟ้าทั้งสามเฟส ดังภาพที่ 4.1



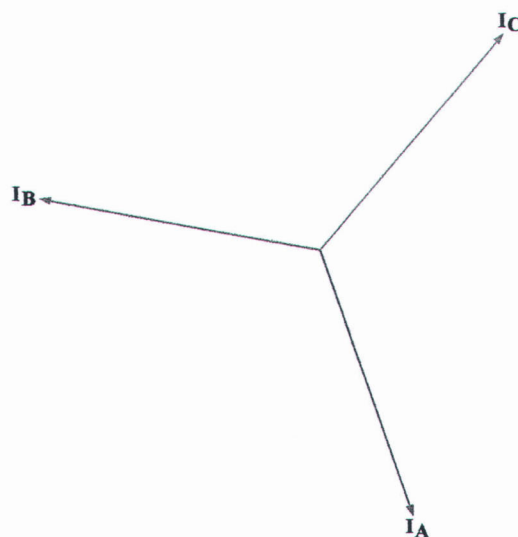
ภาพที่ 4.1 สัญญาณของกระแสสายทั้งสามเฟส ในสภาวะปกติ

กระแสสายที่ตรวจวัดได้ในทั้งสามเฟส มีค่า พอสรุปได้ดังตารางที่ 4.1

ตารางที่ 4.1 แสดงผลของกระแสสาย เมื่อระบบทำงานอยู่ในสภาพปกติ

$I_A$ (แดง)			$I_B$ (เขียว)			$I_C$ (นำเงิน)		
กระแส (A)	มุมไฟส์ (degree)	เวลา เดือน (ms)	กระแส (A)	มุมไฟส์ (degree)	เวลา เดือน (ms)	กระแส (A)	มุมไฟส์ (degree)	เวลา เดือน (ms)
118.95	-70.9	-	118.95	169.38	-	118.95	49.66	-

จากตาราง 4.1 ของวงจรสายปืนนี้ สามารถนำมาสร้างเวกเตอร์ของกระแสสายได้ โดยจะพบว่า ปริมาณของกระแสทั้งสามไฟส์จะมีค่าเท่ากัน ไม่เกิดการลื่อนเวลาของสัญญาณกระแสขึ้นในสภาพปกติ และมีมุมไฟส์ของกระแสทำมุมกันอยู่ที่ 120 องศา ซึ่งเวกเตอร์ของกระแสที่ได้จากตารางที่ 4.1 นี้ แสดงด้วยภาพที่ 4.2

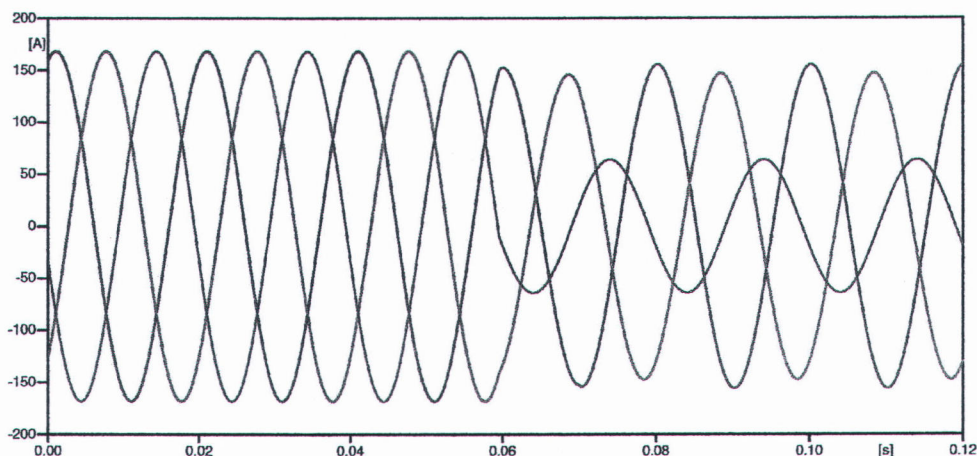


ภาพที่ 4.2 เวกเตอร์ของกระแสสาย เมื่อระบบไฟฟ้าอยู่ในสภาพปกติ

ทั้งนี้เวกเตอร์ของกระแสสายในภาพที่ 4.2 นี้ ยังแสดงให้เห็นถึงความปกติของระบบไฟฟ้า เพราะมุมไฟส์ของกระแสสายแต่ละไฟส์ทำมุมกันที่ 120 องศา และมีขนาดของกระแสที่ใกล้เคียงกันในทุกไฟส์

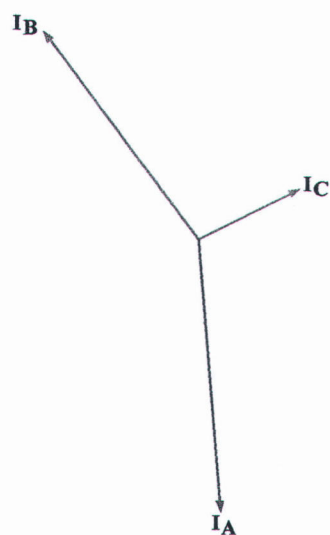
4.1.1.2 ผลการจำลองระบบจähนนำไฟฟ้า ให้เกิดความผิดพร่องเนื่องจากสายจähนนำไฟฟ้าขาดแล้วสัมผัสพื้นด้านภาระ กรณีที่ภาระไฟฟ้าเป็นแบบเดลต้า

ตัวอย่างสัญญาณกระแสสาย เมื่อเวลาเกิดความผิดพร่องแบบสายจähนนำไฟฟ้าขาดแล้วสัมผัสพื้นด้านภาระ ดังภาพที่ 4.3



ภาพที่ 4.3 ตัวอย่างสัญญาณของกระแส เมื่อเกิดความผิดพร่องฯ ขึ้นในช่วงที่ 3 ของวงจรจähนนำไฟฟ้า โดยภาระเป็นเดลต้า

จากตัวอย่างสัญญาณของกระแส เมื่อเกิดความผิดพร่องแบบสายจähนนำไฟฟ้าขาดในช่วงที่ 3 แล้วสัมผัสพื้นด้านภาระ ซึ่งภาระเป็นแบบเดลต้า พบว่าสัญญาณในเฟส C มีขนาดกระแสที่ลดลงที่สุดเงน ส่วนกระแสในเฟส A และ B นั้นลดลงเพียงเล็กน้อย ค่าขนาดของกระแส และบุนเฟสของกระแส สามารถนำมาสร้างเวกเตอร์ของกระแสทั้งสามเฟส ได้ตามภาพที่ 4.4



ภาพที่ 4.4 ตัวอย่างเวกเตอร์ของกระแส เมื่อระบบไฟฟ้าเกิดความผิดพร่องฯ ซึ่งภาระเป็นเดลต้า

การวิเคราะห์สัญญาณกระແສที่ได้จากการจำลองความผิดพร่อง แสดงในตารางที่ 4.2

ตารางที่ 4.2 ผลของกระແສสายทั้งสามเฟส เมื่อจำลองความผิดพร่องฯลฯบนเฟส “C”

ณ ช่วงความยาวสายต่างๆ โดยภาระเป็นเดลต้า

ช่วง สายที่ ขาด	I <sub>A</sub> (แคร์)			I <sub>B</sub> (เขียว)			I <sub>C</sub> (น้ำเงิน)		
	กระแส (A)	มุมเฟส (degree)	ค่า เวลา (ms)	กระแส (A)	มุมเฟส (degree)	ค่า เวลา (ms)	กระแส (A)	มุมเฟส (degree)	ค่า เวลา (ms)
1	104.80	-99.74	18.579	101.69	90.80	21.647	0.000	-99.74	0.000
2	106.97	-94.74	18.852	102.28	106.30	21.341	22.70	13.47	19.600
3	109.99	-85.37	19.179	104.02	126.42	21.014	45.38	26.57	19.646
4	111.71	-81.04	19.401	107.42	139.75	20.731	63.88	32.86	19.840
5	113.86	-76.92	19.625	111.23	151.64	20.462	82.37	39.41	19.915
6	116.31	-73.52	19.851	115.19	161.15	20.254	100.73	44.84	19.991

ผลที่ได้จากการจำลอง จะพบว่ามีการลดลงของกระແສภาระเดิม และยังมีมุมเฟสเปลี่ยนแปลงไป อีกด้วย เมื่อเกิดเหตุการณ์สายไฟฟ้าขาดแล้วสัมผัสพื้นด้านภาระ ทั้งนี้ เพราะเมื่อเกิดความผิดพร่อง แบบสายจำหน่ายไฟฟ้าแล้วตกลงมาสัมผัสพื้นด้านภาระขึ้นในระบบไฟฟ้า ระบบไฟฟ้าจะทำการ ปรับเข้าสู่สมดุลใหม่

จากการจำลองความผิดพร่องแบบสายจำหน่ายไฟฟ้าขาดแล้วสัมผัสพื้นด้านภาระในระบบ จำหน่ายไฟฟ้าในตารางที่ 4.2 สามารถนำมาทำการวิเคราะห์เพิ่มเติมได้ โดยการเพิ่มการเปรียบเทียบ ในมิติของการเปลี่ยนแปลงขนาดของกระแส และการเปรียบเทียบในมิติของการเปลี่ยนแปลงเวลา ของสัญญาณ เพื่อความชัดเจนในการแยกแยะ หรือระบุความผิดพร่องแบบสายจำหน่ายไฟฟ้าขาด แล้วสัมผัสพื้นด้านภาระ ได้ดีขึ้น โดยการเปรียบเทียบความเปลี่ยนแปลงเวลาของกระแส ถูกแสดง ในตารางที่ 4.3 ส่วนตารางที่ 4.5 จะแสดงการเปรียบเทียบความเปลี่ยนแปลงขนาดของกระແສสาย เมื่อเกิดความผิดพร่องฯ

ตารางที่ 4.3 การเปรียบเทียบเวลาของสัญญาณกระแสที่เปลี่ยนแปลงไปจากเดิม เมื่อเกิดความผิดพร่องๆ ในเฟส “C” ที่ระยะสายนำหัวย่างต่างๆ

ช่วงสาย ที่ขาด	$I_A$ (แอง)		$I_B$ (เจีย)		$I_C$ (น้ำเงิน)	
	ค่าเวลา (ms)	การเลื่อน เวลา (ms)	ค่าเวลา (ms)	การเลื่อน เวลา (ms)	ค่าเวลา (ms)	การเลื่อน เวลา (ms)
1	18.579	-1.421	21.647	1.647	-	-
2	18.852	-1.148	21.341	1.341	19.600	-0.400
3	19.179	-0.821	21.014	1.014	19.646	-0.354
4	19.401	-0.599	20.731	0.731	19.840	-0.160
5	19.625	-0.375	20.462	0.462	19.915	-0.085
6	19.851	-0.149	20.254	0.254	19.991	-0.009

การเปรียบเทียบในมิติของเวลาจากตารางด้านบน พบว่าเหตุการณ์สายนำหัวย่างไฟฟ้าขาดแล้ว สัมผัสพื้นด้านภาระที่ระยะสายนำหัวย่างใดๆ กระแสเฟส “C” จะมีการเลื่อนเวลาของสัญญาณกระแสเน้อยู่ที่สุด นั่นแสดงว่า สายนำหัวย่างไฟฟ้าเฟสที่ขาดจะมีการเลื่อนเวลาที่น้อยที่สุด เมื่อเทียบกับสัญญาณกระแสในเฟสอื่น

เพื่อการยืนยันผลลัพธ์ของการเปลี่ยนแปลงเวลาของสัญญาณกระแสดังกล่าว จึงเพิ่มการจำลองความผิดพร่องแบบสายไฟฟ้าขาดแล้วสัมผัสพื้นด้านภาระบนระยะสายนำหัวย่าง 14.5 กิโลเมตร (ช่วงที่ 4) ในเฟส “A” และ “B” ตามลำดับแล้ว เปรียบเทียบเวลาของสัญญาณกระแสที่เลื่อนไปจากระบบไฟฟ้าปกติ ผลการวิเคราะห์เพิ่มเติมนี้ พ示สรุปได้ดังตารางที่ 4.4

ตารางที่ 4.4 การวิเคราะห์การเลื่อนเวลาของกระแส เมื่อเกิดความผิดพร่องๆ ในเฟส “A” และ “B”  
แล้วสัมผัสพื้นด้านภาระแบบเดลต้า

เฟสที่ขาด	$I_A$ (แอง)		$I_B$ (เจีย)		$I_C$ (น้ำเงิน)	
	ค่าเวลา (ms)	การเลื่อน เวลา (ms)	ค่าเวลา (ms)	ค่าเวลา (ms)	การเลื่อน เวลา (ms)	ค่าเวลา (ms)
A	19.816	-0.184	19.316	-0.684	20.764	0.764
B	20.660	0.660	19.842	-0.158	19.290	-0.710

พบว่า เมื่อเกิดเหตุการณ์ความผิดพร่องดังกล่าว ในเฟส “A” การเลื่อนเวลาของสัญญาณกระแสของเฟส “A” จะมีเวลาที่เปลี่ยนไปน้อยที่สุด เมื่อเทียบกับเฟสที่ไม่ได้เกิดความผิดพร่อง ส่วนการขาดในเฟส “B” จะได้ผลเช่นเดียวกับเหตุการณ์สายไฟฟ้าขาดในเฟส “A” และ “C”

จึงสรุปผลการจำลองความผิดพร่องแบบสายจำหน่ายไฟฟ้าขาดแล้วตกลงมาสัมผัสพื้นด้านภาระ ในด้านการวิเคราะห์เชิงการเลื่อนเวลาได้ว่า “ในระบบจำหน่ายไฟฟ้าที่มีภาระด้านแรงสูงปานกลางเป็นแบบการต่อเดลต้า (*Delta connection*) ซึ่งเป็นลักษณะส่วนใหญ่ของระบบจำหน่ายไฟฟ้าของประเทศไทย จะมีการเลื่อนเวลาของสัญญาณกระแสเปลี่ยนแปลงไปจากเดิมน้อยที่สุด ในเฟสที่สายไฟฟ้าขาดแล้วสัมผัสพื้นด้านภาระ”

ต่อไปจะวิเคราะห์ในด้านขนาดของกระแสไฟฟ้าที่เปลี่ยนแปลงไปจากการกระแสโหลด เมื่อเกิดความผิดพร่องแบบสายไฟฟ้าขาดแล้วสัมผัสพื้นด้านภาระ ผลการจำลองความผิดพร่องฯพอยต์รูปได้ดังในตารางที่ 4.5

ตารางที่ 4.5 การวิเคราะห์การเปลี่ยนแปลงขนาดของกระแส เมื่อเกิดความผิดพร่องฯ ในเฟส “C”  
แต่ละช่วงของสายจำหน่ายแล้วสัมผัสพื้นด้านภาระแบบเดลต้า

ช่วงสาย ที่ขาด	$I_A$ (แครง)		$I_B$ (เขียว)		$I_C$ (น้ำเงิน)	
	กระแส (A)	เปลี่ยนแปลง (%)	กระแส (A)	เปลี่ยนแปลง (%)	กระแส (A)	เปลี่ยนแปลง (%)
1	104.80	11.90	101.69	14.51	0.000	100.00
2	106.97	10.07	102.28	14.02	22.70	80.92
3	109.99	7.54	104.02	12.56	45.38	61.85
4	111.71	6.09	107.42	9.69	63.88	46.29
5	113.86	4.28	111.23	6.49	82.37	30.76
6	116.31	2.23	115.19	3.17	100.73	15.32

จากผลการวิเคราะห์ในมิติของขนาดกระแสดังกล่าว พบว่าเปอร์เซ็นต์การเปลี่ยนแปลงขนาดกระแสของเฟส “C” จะมีค่าการเปลี่ยนแปลงมากที่สุด เมื่อเทียบกับเปอร์เซ็นต์การเปลี่ยนแปลงขนาดกระแสของเฟสอื่น

ทำการวิเคราะห์ด้านการเปลี่ยนแปลงขนาดของกระแสเพิ่มเติม เพื่อยืนยันผลลัพธ์ของการเปลี่ยนแปลง โดยจะทำการจำลองเหตุการณ์สายจำหน่ายไฟฟ้าขาดแล้วสัมผัสพื้นด้านภาระบนระยะทาง

14.5 กิโลเมตร (ช่วงที่ 4) ในเฟส “A” และ “B” ตามลำดับ ผลการจำลองเพิ่มเติมนี้ พอจะวิเคราะห์เพิ่มเติมได้ตามตารางที่ 4.6

ตารางที่ 4.6 การวิเคราะห์การเปลี่ยนแปลงขนาดของกระแส เมื่อเกิดความผิดพร่องฯ บนเฟส “A” และ “B” แล้วสัมผัสพื้นด้านภาระแบบเดลต้า

เฟส ที่ขาด	$I_A$ (แคร์)		$I_B$ (เเรี่ยว)		$I_C$ (นำเงิน)	
	กระแส (A)	เปลี่ยนแปลง (%)	กระแส (A)	เปลี่ยนแปลง (%)	กระแส (A)	เปลี่ยนแปลง (%)
A	63.89	46.29	109.46	7.98	106.11	10.80
B	107.43	9.69	63.88	46.30	111.71	6.09

พบว่าเมื่อมีความผิดพร่องเกิดขึ้นในเฟส “A” จะมีปอร์เซ็นต์การเปลี่ยนแปลงขนาดที่มากที่สุด เมื่อเปรียบเทียบกับการเปลี่ยนแปลงของกระแสเฟสอื่นๆ ส่วนผลที่ได้จากการจำลองความผิดพร่องบนเฟส “B” จะได้กักษณะเดียวกับเฟส “A”

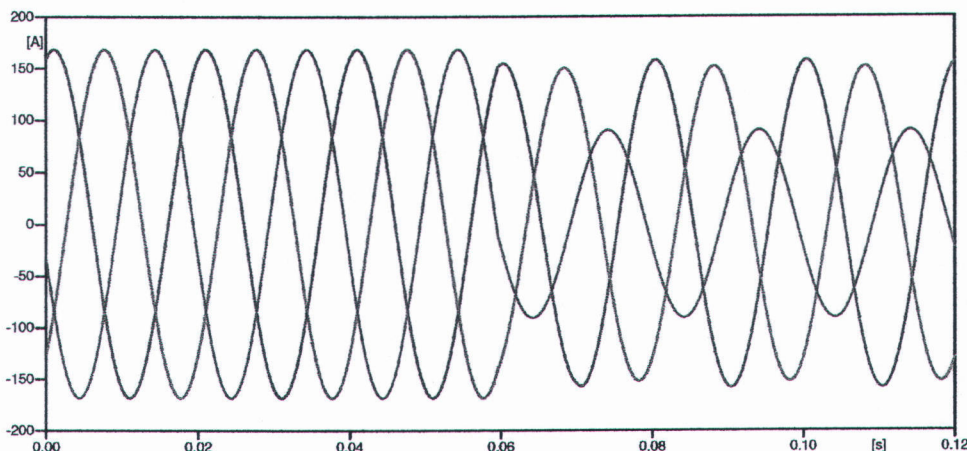
เพราะฉะนั้น จึงสรุปผลของการเปลี่ยนแปลงขนาดกระแสสาย 3 เฟส 3 สาย ที่มีภาระอยู่ในด้านของการเปลี่ยนแปลงขนาดกระแสสายได้ว่า “ในระบบจานวนสายที่มีภาระด้านไฟฟ้าแรงสูงปานกลาง เป็นการต่อแบบเดลต้า (*Delta connection*) นั้น ปอร์เซ็นต์การเปลี่ยนแปลงขนาดของกระแสจะเกิดขึ้นมากที่สุด ในเฟสที่สายจานวนสายไฟฟ้าขาดแต่ตกลงมาสัมผัสพื้นด้านภาระ”

#### 4.1.2 การจำลองระบบไฟฟ้าแบบรัศมี (Radial circuit) เมื่อภาระเป็นแบบวาย 3 เฟส 3 สาย (Load wye without neutral)

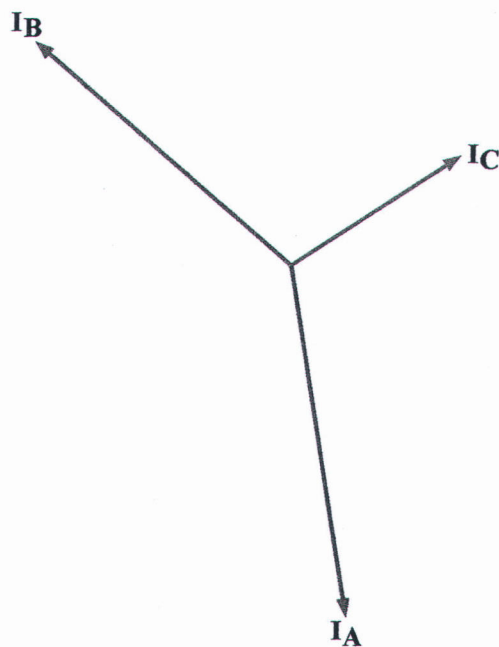
หัวข้อนี้จะเปลี่ยนภาระไฟฟ้าที่ใช้ในการจำลองจากเดลต้าไปเป็นวาย 3 เฟส 3 สาย (Load wye without neutral) และจากการจำลองระบบจานวนสายที่มีภาระเป็นวาย 3 เฟส 3 สายในสภาวะปกติ พบว่ามีผลการจำลองเหมือนกับระบบจานวนสายที่มีภาระเป็นเดลต้าในสภาวะปกติ ดังนั้นจึงไม่ขอกล่าวถึงสภาวะปกติของระบบจานวนสายที่มีภาระเป็นวาย 3 เฟส 3 สาย โดยจะขอกล่าวถึงการจำลองระบบจานวนสายที่มีภาระแบบวาย 3 เฟส 3 สาย เมื่อเกิดความผิดพร่องแบบสายจานวนสายไฟฟ้าขาดแต่ตกลงมาสัมผัสพื้นด้านภาระ ดังนี้

4.1.2.1 ผลการจำลองระบบจ้าหน่ายไฟฟ้า ให้เกิดความผิดพร่องเนื่องจากสายจ้าหน่ายไฟฟ้าขาดแล้วคลงมาสัมผัสพื้นด้านภาระ กรณีที่ภาระไฟฟ้าเป็นแบบวาย 3 เพลส 3 สาย

เมื่อทำการจำลองเหตุการณ์สายไฟฟ้าขาดแล้วสัมผัสพื้นด้านภาระ ซึ่งภาระเป็นแบบวาย 3 เพลส 3 สาย ในช่วงที่ 4 ของวงจรสายป้อนจำลอง ผลของกระแสสายที่ได้ เมื่อจำลองความผิดพร่องฯ จะถูกแสดงด้วยสัญญาณกระแสทั้งสามเฟส ได้แก่ A, B และ C ซึ่งจะพบว่า สัญญาณกระแสในเฟส C (สีน้ำเงิน) จะมีขนาดของกระแสที่ลดลงมากที่สุด เมื่อเทียบกับสัญญาณกระแส 2 เฟสที่เหลือ ดังแสดงไว้ในภาพที่ 4.5 และจากสัญญาณกระแสในภาพที่ 4.5 สามารถวิเคราะห์แล้วสร้างเวกเตอร์ของสัญญาณกระแสสายได้ โดยแสดงไว้ในภาพที่ 4.6 ซึ่งจะพบว่าระบบไฟฟ้าไม่ได้อยู่ในสภาพสมดุล เพราะเนื่องจากขนาดกระแสที่ลดลงของสัญญาณกระแสเฟส C และมุมเฟสระหว่างกระแสเฟส A กับกระแสเฟส B นั้น มุมเฟสทำมุมกันเกิน 120 องศา



ภาพที่ 4.5 สัญญาณของกระแสสาย เมื่อเกิดความผิดพร่องฯ บนช่วงที่ 4 ของวงจรจ้าหน่ายไฟฟ้าโดยภาระเป็นแบบวาย 3 เพลส 3 สาย



ภาพที่ 4.6 เวกเตอร์กระแสไฟฟ้าเกิดความผิดพร่องฯ ซึ่งกระแสเป็นways 3 เฟส 3 สาย

จากสัญญาณกระแสที่ได้จากการจำลองเหตุการณ์ความผิดพร่องเนื่องจากสายชำหายน้ำไฟฟ้าขาดแล้วคลงมาสัมผัสกับพื้นด้านภาระ ผลของกระแสสายจะได้ตามตารางที่ 4.7

ตารางที่ 4.7 ข้อมูลกระแสทั้งสามเฟส เมื่อเกิดเหตุการณ์ความผิดพร่องบนเฟส “C” แล้วคลงมาสัมผัสพื้นด้านภาระ แบบways 3 เฟส 3 สาย

ช่วง สายที่ ขาด	I <sub>A</sub> (แดง)			I <sub>B</sub> (เขียว)			I <sub>C</sub> (น้ำเงิน)		
	ขนาด (A)	มุมเฟส (degree)	ค่า เวลา (ms)	ขนาด (A)	มุมเฟส (degree)	ค่า เวลา (ms)	ขนาด (A)	มุมเฟส (degree)	ค่า เวลา (ms)
4	111.71	-80.99	19.46	107.42	139.32	20.67	63.88	32.35	19.80

การวิเคราะห์ความผิดพร่องเนื่องจากสายชำหายน้ำไฟฟ้าขาดแล้วสัมผัสพื้นด้านภาระ เมื่อกระแสเป็นways 3 เฟส 3 สาย จะทำการวิเคราะห์เหมือนในกรณีภาระที่เป็นแบบเดลต้า คือวิเคราะห์ด้านการเปลี่ยนแปลงขนาดของกระแสและด้านการเปลี่ยนเวลาของสัญญาณกระแส โดยจะเพิ่มการจำลองสายชำหายน้ำไฟฟ้า “A” และ “B” ด้วย เพื่อที่เป็นการยืนยันผลการจำลองความผิดพร่องฯ ว่าการวิเคราะห์นี้ สามารถระบุหรือเจาะจงเฟสที่เกิดความผิดพร่องลักษณะดังกล่าวได้ถูกต้อง ในการวิเคราะห์ความผิดพร่องชนิดนี้ที่มีต่อภาระways 3 เฟส 3 สาย ได้ถูกวิเคราะห์แล้วแสดงในตารางที่ 4.8 เพื่อเปรียบเทียบให้เห็นการวิเคราะห์ทั้งสองลักษณะคือ ทั้งการวิเคราะห์ด้วยการ

เปลี่ยนแปลงมิติของขนาดกระແສສາຍ และวิเคราะห์ด้วยมิติการเปลี่ยนแปลงเวลาของสัญญาณกระແສສາຍ ซึ่งจะพบการเปลี่ยนแปลงอย่างชัดเจน เมื่อเปรียบเทียบเหตุการณ์สายไฟฟ้าที่ขาดในเฟสเดียวกับกล่าวคือ ถ้าจะพิจารณากรณีที่สายไฟฟ้าเฟส A ขาด ก็ให้พิจารณาในตารางที่ 4.8 โดยพิจารณาเฉพาะแกวที่เฟสที่ขาดเป็น เฟส A ซึ่งจะพบว่า การเปลี่ยนแปลงของขนาดกระແສเฟส A เกิดขึ้น 46.27%, เฟส B 6.03% และเฟส C 9.63% นั่นหมายความว่าเฟส A ได้รับผลกระทบจากเหตุการณ์ความผิดพร่องมากที่สุด จึงอาจสันนิฐานได้ว่า สายไฟฟ้าเฟส A เป็นเฟสที่เกิดเหตุการณ์สายไฟฟ้าขาด ตารางที่ 4.8 วิเคราะห์การเปลี่ยนแปลงขนาดและการเลื่อนเวลาของกระແສ เมื่อเกิดความผิดพร่องฯขึ้น ในเฟสต่างๆ แล้วสัมพัสพื้นด้านภาระแบบวาย 3 เฟส 3 สาย

เฟส ที่ขาด	$I_A$ (แครง)		$I_B$ (เจีย)		$I_C$ (น้ำเงิน)	
	กระແສ (A)	เปลี่ยนแปลง (%)	กระແສ (A)	เปลี่ยนแปลง (%)	กระແສ (A)	เปลี่ยนแปลง (%)
A	63.88	46.27	111.73	6.03	107.44	9.63
B	107.43	9.64	63.88	46.26	111.71	6.04
C	111.71	6.04	107.42	9.65	63.88	46.26
เฟส ที่ขาด	ค่าเวลา (ms)	การเลื่อนเวลา (ms)	ค่าเวลา (ms)	ค่าเวลา (ms)	การเลื่อน เวลา (ms)	ค่าเวลา (ms)
A	19.797	-0.203	19.297	-0.703	20.696	0.696
B	20.660	0.660	19.842	-0.158	19.290	-0.710
C	19.460	-0.540	20.672	0.672	19.799	-0.201

จากการวิเคราะห์ผลของกระແສในตารางที่ 4.8 พบร่วมกับเมื่อเกิดความผิดพร่องเนื่องจากสายชำหน่ายไฟฟ้าขาดแล้วตกลงมาสัมพัสพื้นด้านภาระ ซึ่งเป็นประเภทวาย 3 เฟส 3 สาย จะเกิดลักษณะคล้ายกับภาระประเภทเดลต้า กล่าวคือ “เบอร์เซ็นต์ของการเปลี่ยนแปลงขนาดของกระແສจะมีค่ามากที่สุด และสัญญาณกระແສที่เกิดการเลื่อนเวลาน้อยที่สุด จะปรากฏขึ้นในสายชำหน่ายไฟฟ้าเฟสที่ขาด”

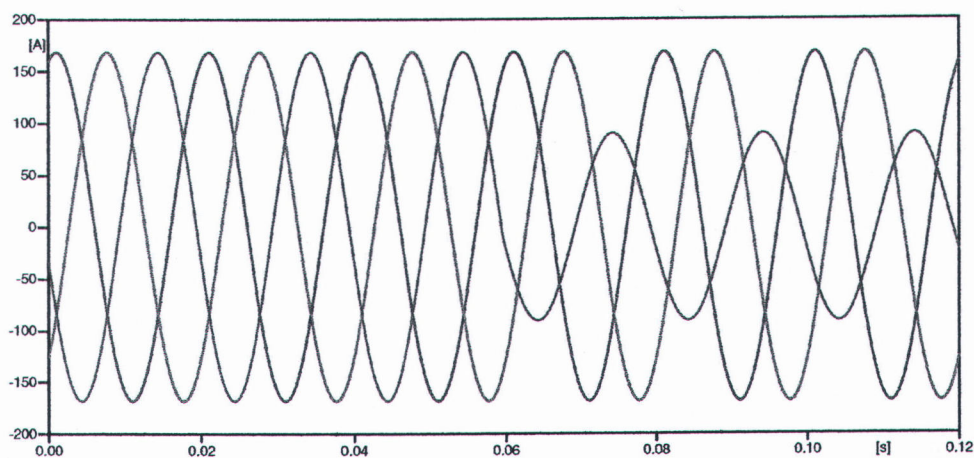
### 4.1.3 การจำลองระบบไฟฟ้าแบบรัศมี (radial circuit) เมื่อภาระเป็นแบบวาย 3 เฟส 4 สาย (Load wye with neutral)

หัวข้อนี้จะเปลี่ยนภาระไฟฟ้าที่ใช้ในการจำลองความผิดพร่องฯ จากวาย 3 เฟส 3 สาย (Load wye without neutral) ไปเป็นวาย 3 เฟส 4 สาย (Load wye with neutral) และจากการจำลองระบบจำหน่ายที่มีภาระเป็นวาย 3 เฟส 4 สายในสภาวะปกติ พบว่ามีผลการจำลองเหมือนกับระบบจำหน่ายที่มีภาระเป็นวาย 3 เฟส 4 สาย โดยจะออกคลื่นสภาวะปกติของระบบจำหน่ายที่มีภาระแบบวาย 3 เฟส 4 สาย เมื่อเกิดความผิดพร่องแบบสายจำหน่ายไฟฟ้าขาดแล้วคงเหลือสัมผัสพื้นด้านภาระ ดังนี้

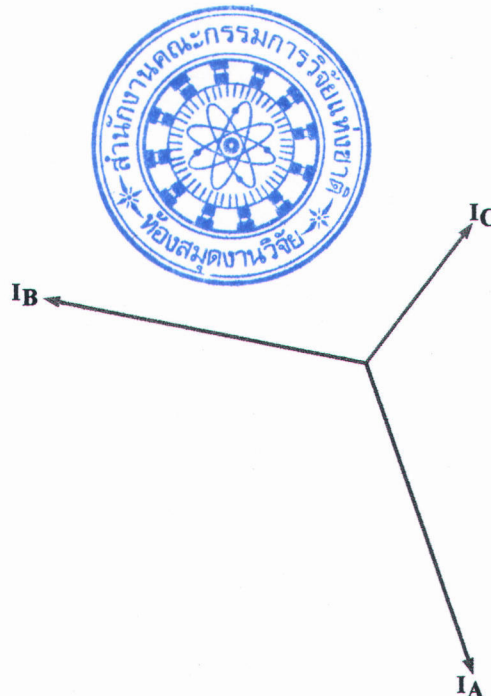
#### 4.1.3.1 ผลการจำลองระบบจำหน่ายไฟฟ้า ให้เกิดความผิดพร่องเนื่องจากสายจำหน่ายไฟฟ้าขาดแล้วสัมผัสพื้นด้านภาระ กรณีที่ภาระไฟฟ้าเป็นแบบวาย 3 เฟส 4 สาย

การจำลองความผิดพร่องแบบสายจำหน่ายไฟฟ้าขาดแล้วสัมผัสพื้นด้านภาระ ซึ่งภาระเป็นแบบวาย 3 เฟส 4 สาย (Load wye with neutral) นี้จะทำการจำลองความผิดพร่องฯ บนเฟส “C” ของสายจำหน่ายไฟฟ้าระยะทาง 14.5 กิโลเมตรจากสถานีไฟฟ้า (ช่วงที่ 4) ด้วยความต้านทานผิดพร่อง 400 โอห์ม

ผลการจำลองความผิดพร่องฯ ได้แสดงด้วยสัญญาณกระแสทั้งสามเฟส ดังภาพที่ 4.7 และสามารถสร้างเวกเตอร์ของกระแสสาย เมื่อเกิดความผิดพร่องฯ โดยแสดงในภาพที่ 4.8 ซึ่งเวกเตอร์ของกระแสสายในภาพที่ 4.8 นี้แสดงให้เห็นว่าระบบไฟฟ้าเกิดความไม่สมดุลขึ้น เมื่อเกิดความผิดพร่องแบบสายจำหน่ายไฟฟ้าขาดแล้วคงเหลือสัมผัสกับพื้นด้านภาระ



ภาพที่ 4.7 สัญญาณของกระแสสาย เมื่อเกิดความผิดพร่องฯ ในช่วงที่ 4 ของวงจรจำหน่ายไฟฟ้า โดยภาระเป็นแบบวาย 3 เฟส 4 สาย



ภาพที่ 4.8 เวกเตอร์กระแสสาม เมื่อระบบไฟฟ้าเกิดความผิดพร่องฯ ซึ่งภาวะเป็นวาย 3 เฟส 4 สาย

จากสัญญาณที่ได้จากการจำลองเหตุการณ์ความผิดพร่องเนื่องจากสายชำหายน้ำไฟฟ้าขาดเดียว สัมผัสพื้นด้านภาระ พอสรุปผลได้ตามตารางที่ 4.9

ตารางที่ 4.9 ข้อมูลกระแสทั้งสามเฟส เมื่อเกิดเหตุการณ์ความผิดพร่องบนเฟส “C” บนระยะสายสั่งช่วงที่ 4 แล้วสัมผัสพื้นด้านภาระ แบบวาย 3 เฟส 4 สาย

ช่วง สายที่ ขาด	I <sub>A</sub> (แอง)			I <sub>B</sub> (เขียว)			I <sub>C</sub> (น้ำเงิน)		
	ขนาด (A)	มุมเฟส (degree)	ค่า เวลา (ms)	ขนาด (A)	มุมเฟส (degree)	ค่า เวลา (ms)	ขนาด (A)	มุมเฟส (degree)	ค่า เวลา (ms)
4	118.89	-70.95	20	118.89	168.43	20	63.89	52.19	19.83

การวิเคราะห์ความผิดพร่องเนื่องจากสายชำหายน้ำไฟฟ้าขาดเดียวทอกลงมาสัมผัสพื้นด้านภาระ เมื่อภาวะเป็นประเทกการต่อแบบวาย 3 เฟส 4 สาย จะทำการวิเคราะห์ความผิดพร่องฯ เมื่อนิยรณ์ของภาวะที่เป็นแบบ วาย 3 เฟส 3 สาย คือวิเคราะห์ด้านการเปลี่ยนแปลงขนาดของกระแสและวิเคราะห์ด้านการเลื่อนเวลาของสัญญาณกระแส โดยจะเพิ่มการจำลองเหตุการณ์สายชำหายน้ำไฟฟ้าในเฟส “A” และ “B” ด้วย เพื่อที่จะสามารถระบุหรือเจาะจงเฟสที่เกิดความผิดพร่องในลักษณะดังกล่าว ได้ถูกต้อง ในการวิเคราะห์กระแสสาม เมื่อเกิดความผิดพร่องฯ ต่อภาวะประเทก 3 เฟส 4 สาย ผลกระทบวิเคราะห์ด้านการเปลี่ยนแปลงขนาดกระแส และการวิเคราะห์ด้านการเปลี่ยนแปลงเวลาของสัญญาณกระแส ได้ถูกแสดงในตารางที่ 4.10

ตารางที่ 4.10 วิเคราะห์การเปลี่ยนแปลงขนาดและการเลื่อนเวลาของกระแส เมื่อเกิดความผิดพร่องฯ  
ในเฟสต่างๆ แล้วสัมผัสพื้นด้านภาระแบบ วาย 3 เฟส 4 สาย

เฟส ที่ขาด	$I_A$ (แครง)		$I_B$ (เจียว)		$I_C$ (นำเงิน)	
	กระแส (A)	เปลี่ยนแปลง (%)	กระแส (A)	เปลี่ยนแปลง (%)	กระแส (A)	เปลี่ยนแปลง (%)
A	63.89	46.26	118.91	0.018	118.89	0.000
B	118.87	0.018	63.89	46.26	118.88	0.006
C	118.89	0.000	118.89	0.000	63.89	46.26
เฟส ที่ขาด	ค่าเวลา (ms)	การเลื่อนเวลา (ms)	ค่าเวลา (ms)	การเลื่อนเวลา (ms)	ค่าเวลา (ms)	การเลื่อนเวลา (ms)
A	19.797	-0.203	20	-	20	-
B	20	-	19.842	-0.158	20	-
C	20	-	20	-	19.830	-0.170

จากตารางที่ 4.10 การวิเคราะห์ผลของกระแสสาย เมื่อเกิดความผิดพร่องเนื่องจากสายชำหน่ายไฟฟ้าขาดแล้วสัมผัสพื้นด้านภาระ ซึ่งเป็นประเภทวาย 3 เฟส 4 สาย สามารถแยกการวิเคราะห์ออกเป็น 2 กรณี คือ

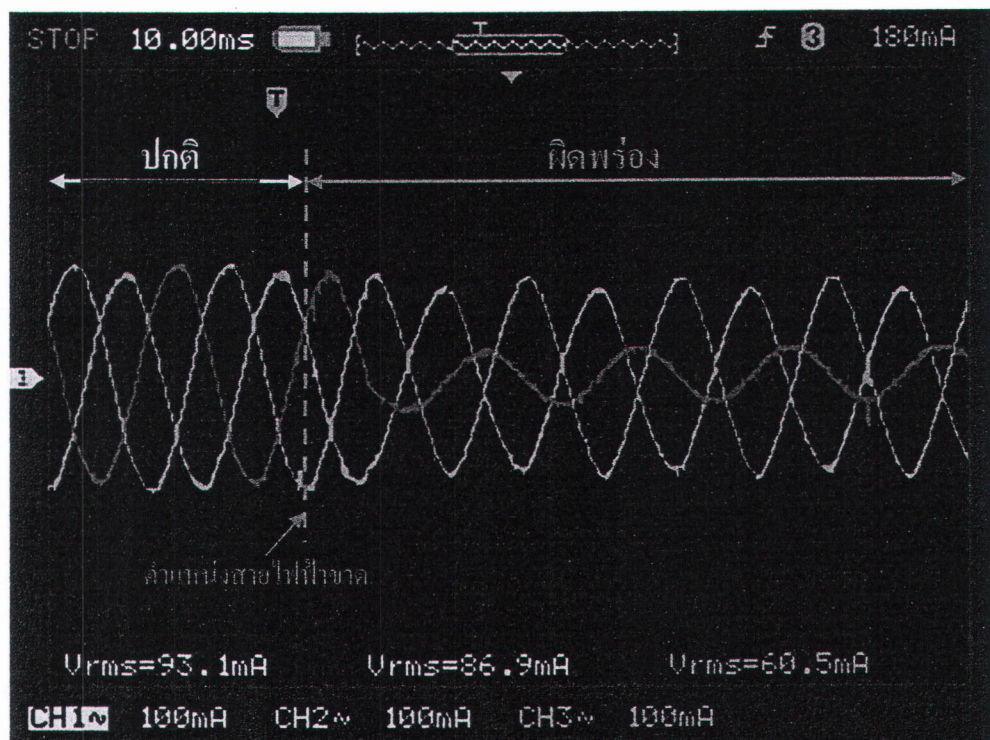
กรณีที่ 1 ด้านการเปลี่ยนแปลงขนาดของกระแสสาย พนว่าเปอร์เซ็นต์การเปลี่ยนแปลงขนาดของกระแสมีค่าการเปลี่ยนแปลงมาก ในสายชำหน่ายไฟฟ้าเฟสที่ขาด ซึ่งจะมีลักษณะการเปลี่ยนแปลงเหมือนกับการต่อกระแสแบบเดลต้า และวาย 3 เฟส 3 สาย

กรณีที่ 2 ด้านการเปลี่ยนแปลงการเลื่อนเวลาของสัญญาณกระแสสายมีลักษณะแตกต่างกับกระแสประเภทเดลต้าหรือวาย 3 เฟส 3 สาย คือ สัญญาณกระแสสายมีการเลื่อนเวลาเกิดขึ้นเฉพาะในสายชำหน่ายไฟฟ้าเฟสที่ขาด

#### 4.2 การจำลองความผิดพร่องฯภายในห้องปฏิบัติการและวิเคราะห์ผลการทดลอง

การจำลองเหตุการณ์ความผิดพร่องแบบสายนำไฟฟ้าขาดแล้วตกลงมาสัมผัสกับพื้นด้านภายนอกบนระบบนำไฟฟ้าจำลองภายในห้องปฏิบัติการนี้ จะทดลอง/วิจัยในลักษณะเดียวกันกับการจำลองความผิดพร่องฯ ด้วยโปรแกรมประยุกต์

ผลของกระแสส่าย เมื่อจำลองความผิดพร่องแบบสายนำไฟฟ้าขาดแล้วสัมผัสพื้นด้านภายนอกบนนำไฟฟ้าจำลอง ที่รัศมีคลื่นผ่านดิจิตอลอสซิลโลสโคป ดังแสดงในภาพที่ 4.9



ภาพที่ 4.9 สัญญาณของกระแส เมื่อเกิดความผิดพร่องฯ ในระหว่างช่วงที่ 2 กับ 3  
ของระบบนำไฟฟ้าจำลอง

ระบบนำไฟฟ้าในช่วงปกติ สัญญาณกระแสส่ายจะ ไม่มีการเปลี่ยนแปลง แต่เมื่อเกิดเหตุการณ์สายนำไฟฟ้าขาด ณ ตำแหน่งเส้นประตีดeng ในภาพที่ 4.9 จะพบการเปลี่ยนแปลงกระแสส่ายในทุกเฟส และเฟส C เป็นเฟสที่มีการเปลี่ยนแปลงลดลงมากที่สุด ส่วนเฟส A และเฟส B มีการเปลี่ยนแปลงกระแสส่ายจากเดิมเล็กน้อย

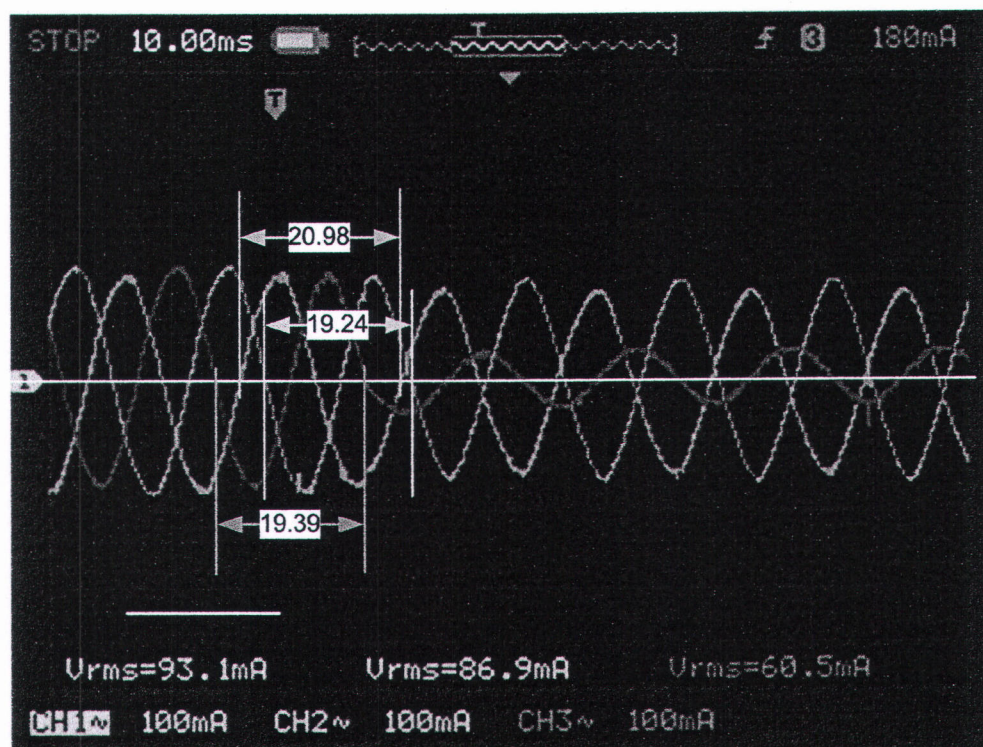
ปริมาณกระแสส่ายทั้งสามเฟสได้แสดงในรูปแบบของตาราง เมื่อเหตุการณ์ความผิดพร่องแบบสายไฟฟ้าขาดได้ถูกจำลองในระบบนำไฟฟ้าจำลอง ตามตารางที่ 4.11

ตารางที่ 4.11 ปริมาณกระแสทั้งสามเฟส เมื่อเกิดความผิดพร่องฯ ในเฟส “C”

ช่วง สายที่ ขาด	I <sub>A</sub> (เหลือง)			I <sub>B</sub> (ฟ้า)			I <sub>C</sub> (เขียว)		
	ขนาด (mA)	มุมเฟส (degree)	คาบ เวลา (ms)	ขนาด (mA)	มุมเฟส (degree)	คาบ เวลา (ms)	ขนาด (mA)	มุมเฟส (degree)	คาบ เวลา (ms)
2 – 3	93.1	-50	19.24	86.9	142.64	20.98	60.5	46.82	19.38

จากสัญญาณของกระแสสาย เมื่อเกิดความผิดพร่องฯ ในระหว่างช่วงที่ 2 กับ 3 ของระบบ จำนวนไฟฟ้าจำลอง ในภาพที่ 4.9 นี้ สามารถวิเคราะห์ผลกระแสสายได้ 2 ลักษณะคือ ด้านการเปลี่ยนแปลงขนาดของกระแส และด้านการเปลี่ยนแปลงการเดือนของเวลา

การวิเคราะห์ด้านการเปลี่ยนแปลงการเดือนเวลาในนี้ ได้ถูกวิเคราะห์ลงไปในภาพที่ 4.10 ซึ่งพบว่าความเวลาของกระแสไฟฟ้าแต่ละเฟสจะเปลี่ยนแปลงไปจาก 20 มิลลิวินาทีทั้งสิ้น



ภาพที่ 4.10 วิเคราะห์ด้านการเดือนของเวลา เมื่อเกิดความผิดพร่องฯ ในระหว่างช่วงที่ 2 กับ 3 ของระบบจำนวนไฟฟ้าจำลอง

ส่วนการวิเคราะห์การเปลี่ยนแปลงขนาดและการเดือนเวลาของสัญญาณกระแส และจากการวิเคราะห์ดังกล่าว พอสรุปได้ดังตารางที่ 4.12

ตารางที่ 4.12 วิเคราะห์การเปลี่ยนแปลงขนาดและการเลื่อนเวลาของกระแส เมื่อเกิดความผิดพร่องฯ  
ในเฟส “C” แล้วสัมผัสพื้นด้านภาระ

เฟส ที่ขาด	$I_A$ (เหลือง)		$I_B$ (ฟ้า)		$I_C$ (ชมพู)	
	กระแส (mA)	เปลี่ยนแปลง (%)	กระแส (mA)	เปลี่ยนแปลง (%)	กระแส (mA)	เปลี่ยนแปลง (%)
C	93.10	5.95	86.90	12.22	60.50	38.88
เฟส ที่ขาด	ความเวลา (ms)	การเลื่อนเวลา (ms)	ความเวลา (ms)	การเลื่อนเวลา (ms)	ความเวลา (ms)	การเลื่อนเวลา (ms)
C	19.24	-0.760	20.98	0.980	19.39	-0.610

ผลวิเคราะห์ของตารางด้านบน พบว่าเมื่อเกิดความผิดพร่องเนื่องจากสายชำหน่ายไฟฟ้าขาดแล้ว สัมผัสพื้นด้านภาระ ซึ่งภาระของชุดจัลลงระบบชำหน่ายไฟฟ้านี้เป็นแบบวาย 3 เฟส 3 สาย จะได้กักษณะที่ระบุความผิดพร่องได้ดังนี้คือ “ปอร์เซนต์ของการเปลี่ยนแปลงขนาดของกระแสจะมีค่ามากที่สุด และลัญญาณที่เกิดการเลื่อนเวลาอยู่ที่สุด จะปรากฏขึ้นในสายชำหน่ายไฟฟ้าเฟสที่ขาด”

ตารางที่ 4.13 ลักษณะเฉพาะของความผิดพร่องแบบสายชำหน่ายไฟฟ้าขาดแล้วสัมผัสพื้นด้านภาระ

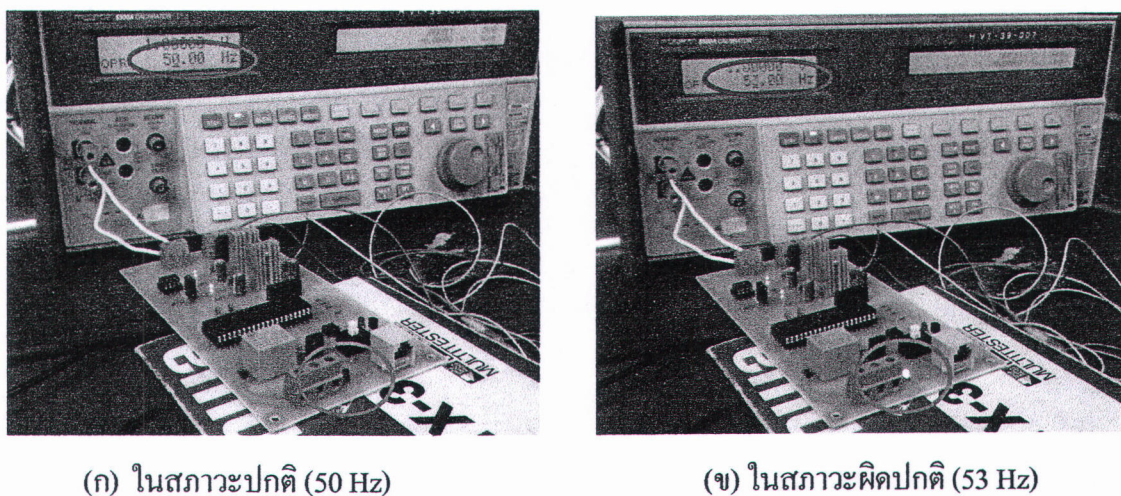
ภาระไฟฟ้า	ชุดสังเกต	คุณลักษณะของความผิดพร่อง	
		เฟสที่ปกติ	เฟสที่ขาด
เดลต้า	% การเปลี่ยนแปลงกระแส	ไม่เกิน 15% ของกระแสโหลด	มากกว่า 15% ของกระแสโหลด
	การเลื่อนเวลาของกระแส	เกิดการเลื่อนเวลา	เกิดการเลื่อนเวลา น้อยที่สุด
วาย 3 เฟส 3 สาย	% การเปลี่ยนแปลงกระแส	มีการลดลงของ กระแสโหลด	มีการลดลงของกระแส มากที่สุด
	การเลื่อนเวลาของกระแส	เกิดการเลื่อนเวลา	เกิดการเลื่อนเวลา น้อยที่สุด
วาย 3 เฟส 4 สาย	% การเปลี่ยนแปลงกระแส	ไม่มีการเปลี่ยนแปลง	มีการลดลงของกระแส
	การเลื่อนเวลาของกระแส	ไม่มีการเลื่อนเวลา	เกิดการเลื่อนเวลา

### 4.3 การทดสอบตรวจสอบความผิดพร่องจากเหตุการณ์สายชำห่ายไฟฟ้าขาดแล้วสัมผัสพื้นด้านภาระด้วยวงจรทางอิเล็กทรอนิกส์

ในหัวข้อนี้จะเป็นการนำอุปกรณ์ที่ได้ออกแบบตามหัวข้อการออกแบบเทคนิคการตรวจจับความผิดพร่องแบบสายชำห่ายไฟฟ้าขาดแล้วสัมผัสพื้นด้านภาระ มาทดลองตรวจจับความผิดพร่องที่จะเกิดขึ้นในชุดจำลองระบบชำห่ายไฟฟ้าภายในห้องปฏิบัติการ

#### 4.3.1 ทดสอบอุปกรณ์ตรวจจับความผิดพร่องด้วยเครื่องสอบเทียบ

การทดสอบดังกล่าวจะเป็นการสมนติการเปลี่ยนคาบเวลาของสัญญาณขาเข้าด้วยเครื่องสอบเทียบ FLUKE รุ่น CALIBRATOR 5500A เข้าไปยังอุปกรณ์ตรวจจับความผิดพร่องฯ เสนอว่าสัญญาณกระแสเกิดการเลื่อนเวลา การเลื่อนเวลาในที่นี้จะใช้การเปลี่ยนความถี่ของสัญญาณแทนการเลื่อนเวลาของสัญญาณ



(ก) ในสภาวะปกติ (50 Hz)

(ข) ในสภาวะผิดปกติ (53 Hz)

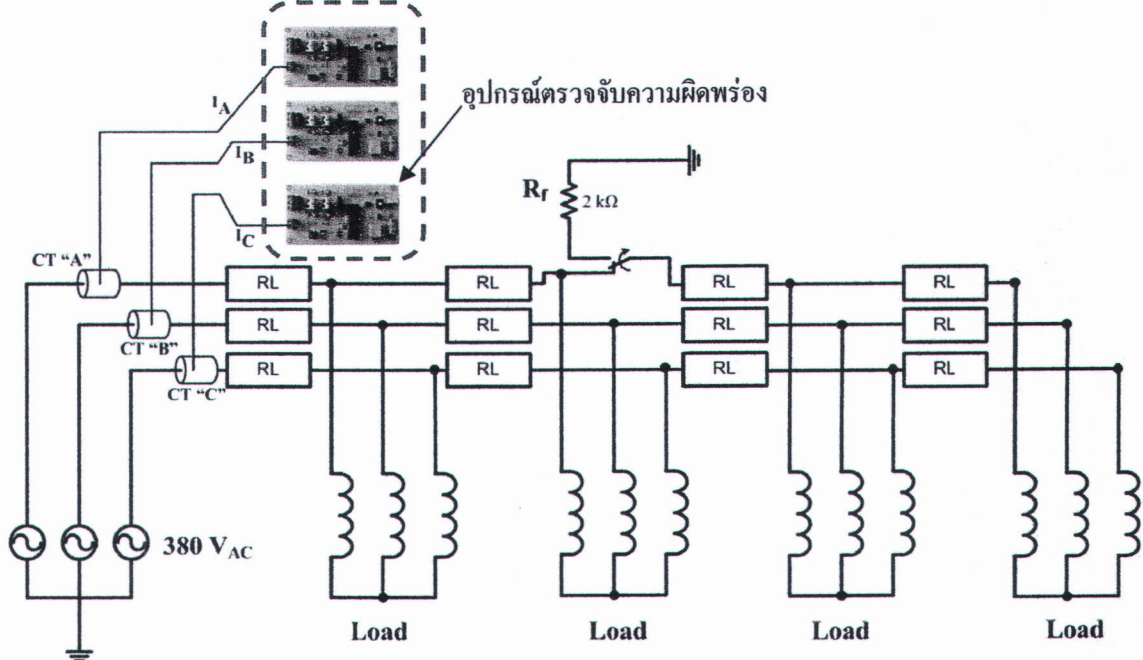
ภาพที่ 4.11 การทดลองอุปกรณ์ตรวจจับความผิดพร่องกับเครื่องสอบเทียบ

ในภาพที่ 4.11(ก) อุปกรณ์ตรวจจับฯ เมื่อพบว่าสัญญาณที่ตรวจวัดมีค่าความถี่ 50 เฮิรตซ์ (วงกลมสีแดง) หรือคาบเวลา 20 มิลลิวินาที อุปกรณ์ตรวจจับฯ จะไม่มีสัญญาณแจ้งเตือนปรากฏขึ้น (หลอด LED ภายในวงกลมสีน้ำเงิน ไม่สว่าง)

ส่วนภาพที่ 4.11(ข) นั้นอุปกรณ์ตรวจจับฯ พบรสัญญาณที่มีความถี่ 53 เฮิรตซ์ (วงกลมสีแดง) หรือคาบเวลา 18.87 มิลลิวินาที อุปกรณ์ตรวจจับฯ จะมีสัญญาณแจ้งเตือนปรากฏขึ้น (หลอด LED ภายในวงกลมสีน้ำเงิน สว่าง)

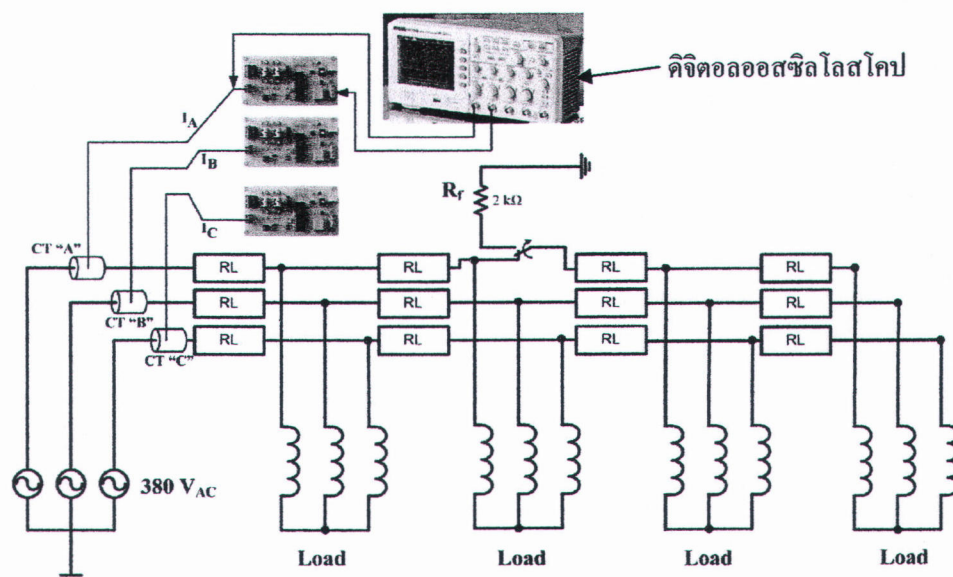
#### 4.3.2 การทดสอบอุปกรณ์ตรวจจับความผิดพร่องด้วยการจำลองความผิดพร่องฯ ในระบบ จำหน่ายไฟฟ้าจำลอง

วงจรการทดสอบความสามารถในการทำงานของอุปกรณ์ความผิดพร่องฯ ให้ทำการป้องกันหรือแจ้งเตือน เมื่อตรวจพบความผิดพร่องฯ สามารถแสดงได้ดังภาพที่ 4.12



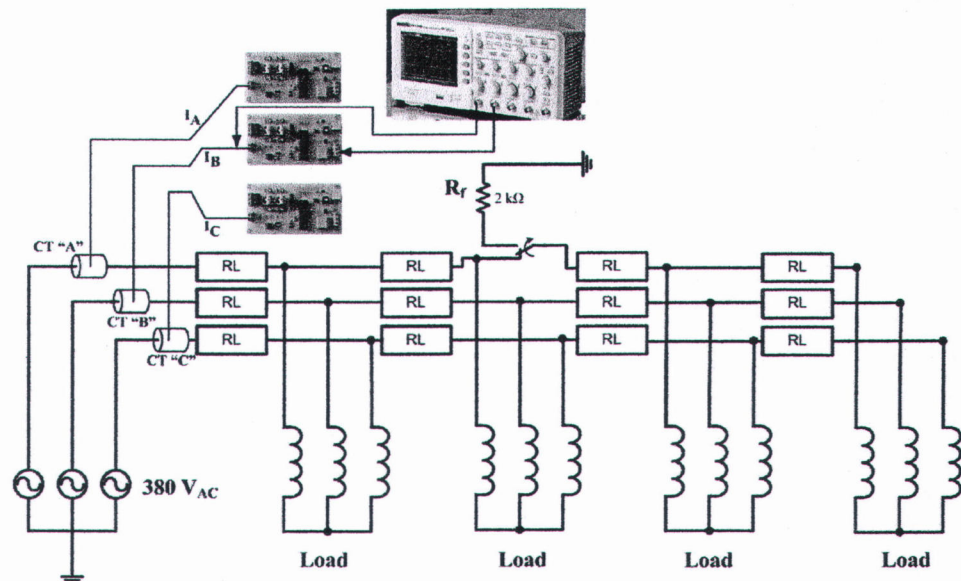
ภาพที่ 4.12 วงจรการทดสอบอุปกรณ์ตรวจจับความผิดพร่องฯ กับเหตุการณ์สายจำหน่ายไฟฟ้าขาดแล้วตกลงมาตั้งผังพื้นด้านภาระแบบวาย 3 เฟส 3สาย

ทดลองการทำงานของอุปกรณ์ตรวจจับความผิดพร่องในเฟส A โดยต่อวงจรตามภาพที่ 4.13



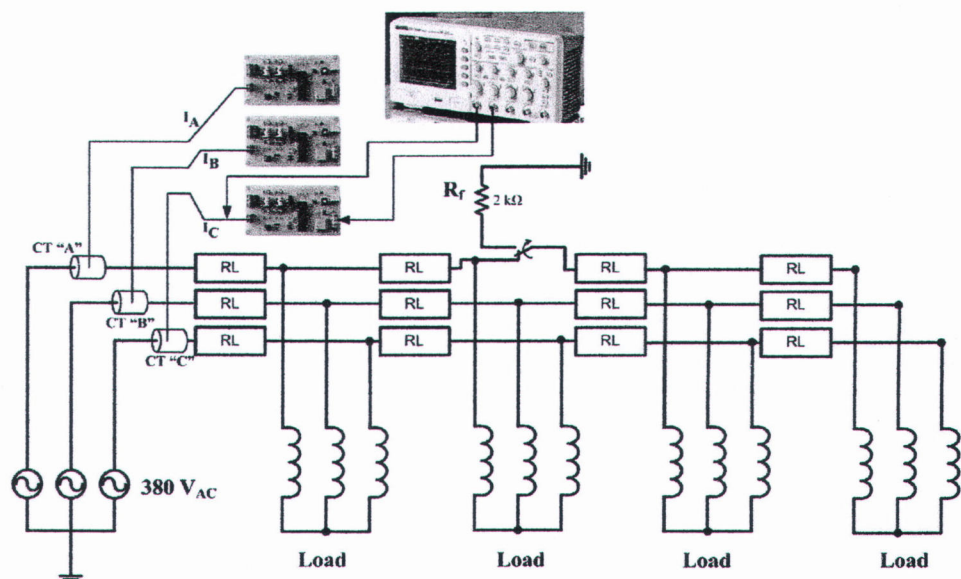
ภาพที่ 4.13 วงจรวัดสัญญาณกระแสเฟส A เทียบกับสัญญาณการทำงานของวงจรตรวจจับเฟส A

ทำการทดลองในลักษณะเดียวกันที่อุปกรณ์ตรวจจับความผิดพร่องของเฟส B โดยต่อวงจรตามภาพที่ 4.14



ภาพที่ 4.14 วิธีวัดสัญญาณกระแสเฟส B เทียบกับสัญญาณการทำงานของวงจรตรวจจับเฟส B

ทำการทดลองในลักษณะเดียวกันที่อุปกรณ์ตรวจจับความผิดพร่องของเฟส C โดยต่อวงจรตามภาพที่ 4.15



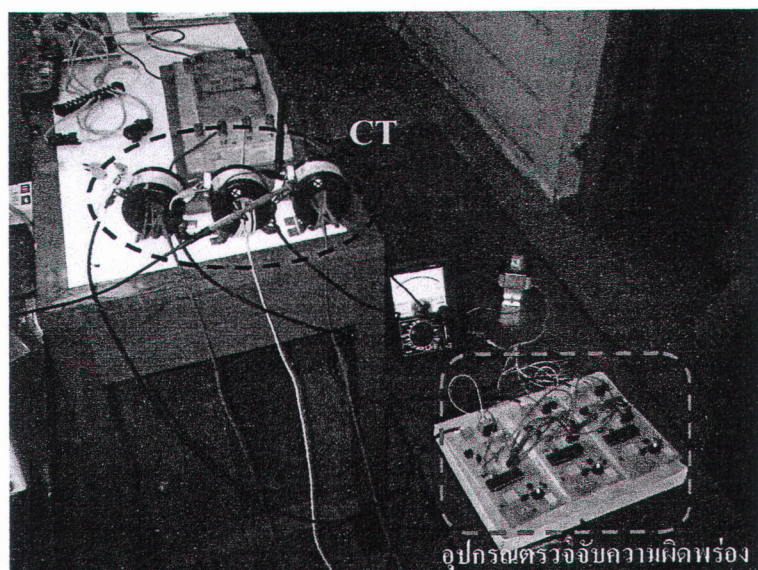
ภาพที่ 4.15 วิธีวัดสัญญาณกระแสเฟส C เทียบกับสัญญาณการทำงานของวงจรตรวจจับเฟส C

การทำการทดลองในลักษณะนี้ เพราะอุปกรณ์ตรวจจับฯ จะอาศัยหลักการเลื่อนเวลาและการเปลี่ยนแปลงขนาดของกระแส เมื่อตรวจพบการเปลี่ยนแปลงดังกล่าวฯ อุปกรณ์ตรวจจับจะส่งสัญญาณแจ้งเตือนออกมา ด้วยเหตุนี้จึงต้องทำการเปรียบเทียบสัญญาณขาเข้า ซึ่งก็คือสัญญาณกระแส

ที่ได้จากหน้าจอแสดงผลกระแส กับสัญญาณขาออก ซึ่งก็คือคือสัญญาณแจ้งเตือน โดยใช้ CH1 ของ ออสซิลโลสโคป วัดสัญญาณขาเข้า ซึ่งเป็นสัญญาณไฟฟ้ากระแสสลับรูปคลื่นชายน์ ส่วน CH2 ของ ออสซิลโลสโคปทำการวัดสัญญาณขาออก (Output) ซึ่งคือสัญญาณแจ้งเตือนของอุปกรณ์ตรวจจับ ความผิดพร่องฯ ซึ่งเป็นสัญญาณไฟฟ้ากระแสตรง

การทดลองทั้ง 3 กรณีดังกล่าววนนี้ เป็นการทดสอบการทำงานของอุปกรณ์ตรวจจับความผิดพร่องฯ เมื่อจำลองความผิดพร่องแบบสายไฟฟ้าขาดแล้วตกลงมาสัมผัศินในเฟส A ของระบบไฟฟ้าจำลอง ทั้งยังจะทำให้ทราบถึงเวลาในการทำงานของอุปกรณ์ตรวจจับฯ ว่ารวดเร็วเพียงใด เมื่อตรวจจับได้ว่า เกิดความผิดพร่องแบบสายชำหันน่ายไฟฟ้าขาดแล้วตกลงมาสัมผัศพื้นด้านภาระขึ้นในระบบไฟฟ้า จำลอง

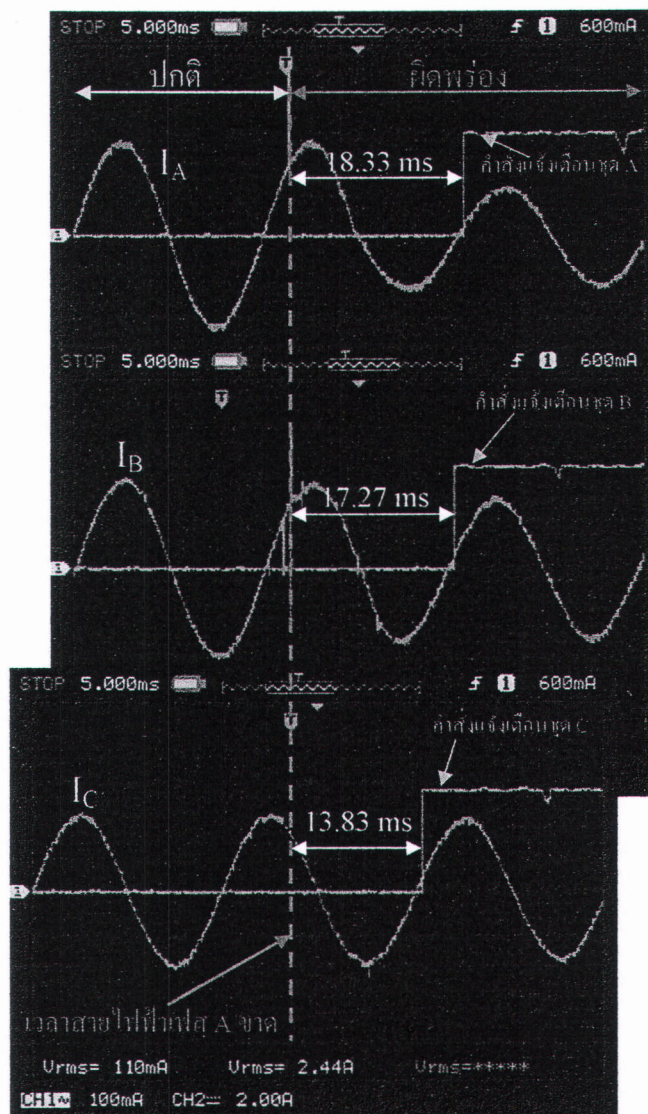
การนำอุปกรณ์ตรวจจับความผิดพร่องไปเฝ้าระวังระบบชำหันน่ายไฟฟ้าจำลอง นั้น ได้ถูกแสดงใน ภาพที่ 4.16



ภาพที่ 4.16 อุปกรณ์ตรวจจับความผิดพร่องฯ ที่ต่อร่วมกับระบบชำหันน่ายไฟฟ้าจำลอง

### 4.3.3 ผลการทำงานของอุปกรณ์ตรวจจับความผิดพร่องฯ

ผลการทำงานของอุปกรณ์ตรวจจับความผิดพร่องฯ นี้ จะแสดงผลการทำงานผ่านดิจิตอลอสซิโลสโคป (Digital Oscilloscope) ซึ่งเป็นการแสดงผลของสัญญาณกระแสเทียบกับสัญญาณแจ้งเตือนของอุปกรณ์ตรวจจับความผิดพร่องฯ



ภาพที่ 4.17 แสดงการทำงานของอุปกรณ์ตรวจจับความผิดพร่องฯ ณ ตำแหน่งเวลาที่สายไฟฟ้าขาด

สัญญาณกระแสสาย และสัญญาณแจ้งเตือนของอุปกรณ์ตรวจจับความผิดพร่องฯ ได้ถูกแสดงไว้

ภาพที่ 4.17 โดยสัญญาณรูปคลื่นชายน์ (สีเหลือง) เป็นสัญญาณกระแสสายของเฟสต่างๆ ส่วนสัญญาณกระแสตรง (สีฟ้า) นั้นเป็นสัญญาณแจ้งเตือนของอุปกรณ์ตรวจจับความผิดพร่องฯ ใน

แต่ละเฟส จะพบว่าเมื่อเกิดเหตุการณ์สายไฟฟ้าขาด (เส้นประสีแดง) อุปกรณ์ตรวจจับความผิดพร่องฯ จะใช้เวลาในการแจ้งเตือนแตกต่างกัน โดยอุปกรณ์ตรวจจับความผิดพร่องฯ ของเฟส A ใช้เวลาในการแจ้งเตือนอยู่ที่ 18.33 มิลลิวินาที, อุปกรณ์ตรวจจับความผิดพร่องฯ ของเฟส B ใช้เวลาในการแจ้งเตือนอยู่ที่ 17.27 มิลลิวินาที และอุปกรณ์ตรวจจับความผิดพร่องฯ ของเฟส C ใช้เวลาในการแจ้งเตือนอยู่ที่ 13.83 มิลลิวินาที

จากการทดลองอุปกรณ์ตรวจจับความผิดพร่องแบบสายจำหน่ายไฟฟ้าขาดแล้วทดลองมาสัมผัสกับพื้นด้านภาระ ทั้ง 3 ชุด คืออุปกรณ์ตรวจจับเฟส A, อุปกรณ์ตรวจจับเฟส B และอุปกรณ์ตรวจจับเฟส C พบว่าเมื่อเกิดความผิดพร่องฯขึ้นในระบบจำหน่ายไฟฟ้า อุปกรณ์ทั้งสามชุดดังกล่าวสามารถที่จะตอบสนองต่อความผิดพร่องฯ ที่เกิดขึ้นได้ เพราะมีสัญญาณแจ้งเตือนปรากฏออกมานี้ให้เห็น ส่วนในสภาวะปกติของระบบไฟฟ้า อุปกรณ์ดังกล่าวก็ไม่ส่งสัญญาณแจ้งเตือนออกมานับว่าอุปกรณ์ตรวจจับความผิดพร่องแบบสายจำหน่ายไฟฟ้าขาดแล้วทดลองมาสัมผัสพื้นด้านภาระนั้น สามารถทำงานได้อย่างถูกต้องตามหน้าที่การเฝ้าระวังระบบไฟฟ้า